

Original Article

Effects of Immediate TNF- α Exposure on Phenotype and Function of Dendritic Cells derived from Cord Blood Mono Nuclear Cells

M. Ebrahimi M.Sc.¹, ZM. Hassan Ph.D.^{1*}, S.M. Moazzeni Ph.D.¹
J. Hadjati Ph.D.², S. Kazemi Ashtiani Ph.D.³, P. Haiat B.Sc.⁴

1. Immunology Department, Faculty of Medicine, Tarbiat Modares University

2. Immunology Department, Tehran Medical University

3. Stem Cells Department, Royan Institute

4. Cellular and Molecular Biology Research Center, Iran Medical Science University

*Corresponding Address: P.O.Box: 14115-331, Immunology Department, Faulty of Medicine,
Tarbiat Modarres University, Tehran, Iran
Email: Hasan_ZM@Modares.ac.ir

Abstract

Received: 10/May/2007, Accepted: 6/Aug/2007

Objective: Effects of immediate TNF- α exposure on phenotype and function of dendritic cells (DCs) derived from cord blood mono nuclear cells

Materials and Methods: Umbilical cord blood MNCs were isolated from healthy mothers and were divided into TNF(+) and TNF (-) groups. Both were cultured using SCF, Flt3L, GM-CSF and IL-4. But, three ng/ml of TNF- α was first added in the culture of TNF(+) group. All cells were cultured for 14 days and matured with TNF- α or LPS for additional four days. Light microscopic and flowcytometric analyses were performed on days 0, 7, and 14 of both cultures. MLR and cytokines assays were used to characterize the function of immature and mature DCs.

Results: Co-culture of cord blood monocytes and hematopoietic stem cells led to the production of DCs with a characteristic veiled appearance and were consistent with a DC panel of surface markers. However, immediate exposure to TNF- α enhanced the survival of culturing cells in the first week of culture and produced mature DCs with higher maturation markers and IL-12 production. Addition of TNF- α as a maturation marker led to the production of matured DCs and also certain immature and hematopoietic stem cells with higher level of IL-10 production.

Conclusion: This study developed a simple, easy and cost effective way to generate DCs from non fractionating mononuclear cells. It seems that primitive DCs and monocytes in the MNCs are contented in the presence of TNF. This will lead different hematopoietic stem cells to myeloid pathway and results in DCs .

Keywords: Mononuclear cells, Cord Blood, Dendritic Cells, TNF- α

Yakhteh Medical Journal, Vol 9, No 2, Summer 2007, Pages:129-140

بررسی اثر افزایش اولیه TNF- α بر فتوتیپ و عملکرد سلول‌های دندربیک مشتق از سلول‌های تک هسته‌ای خون بدنناف

مرتضیه ابراهیمی^۱, زهیر محمدحسن^۲, سیدمحمد مونذی^۳, Ph.D., جمشید حاجتی^۴, سعید کاظمی آشتیانی^۵, Ph.D., پریسا حیات^۶, Ph.D.

۱. دانشگاه تربیت مدرس، دانشکده علوم پزشکی، گروه ایمونولوژی
۲. دانشگاه علوم پزشکی و خدمات درمانی تهران، گروه ایمونولوژی
۳. پژوهشکده علوم سلوی و تاباروری روبان، گروه سلول‌های بنیادی
۴. دانشگاه علوم پزشکی ایران، دانشکده پردازشکی، مرکز تحقیقات علوم سلوی و مولکول

*آدرس مکاتبه: تهران، صندوق پستی: ۱۴۱۱۵-۳۳۱، دانشگاه تربیت مدرس، دانشکده پزشکی، گروه ایمونولوژی

E-mail: Hasan_ZM@Modares.ac.ir

مکیده

دریافت مقاله: ۸۷/۰۴/۰۰، پذیرش مقاله: ۸۷/۰۴/۱۵

* هدف: بررسی اثر افزایش اولیه فاکتور آلفا نکروز دهنده تومور (TNF- α) در فتوتیپ و عملکرد سلول‌های دندربیک مشتق از سلول‌های متoscیت خون بدنناف

* مواد و روش‌ها: سلول‌های تک هسته‌ای از خون بدنناف افراد سالم جدا و به دو گروه تقسیم شدند، در هر دو گروه از محیط کشت حاوی ترکیبات سایتوکاینی GM-CSF, SCF, Flt3L و IL-4 استفاده شد. باین تقاضت که در گروه (+)، TNF-(-) به ترکیبات سایتوکاینی فوق میزان ۳ نانوگرم بر میلی لیتر TNF در روزهای ۱۰ و ۱۴ اضافه شد، و در گروه (-)، هیچ ترکیب دیگری به سایتوکاین‌های فوق اضافه نشد. سلول‌ها در هر دو گروه به مدت ۱۴ روز کشت شدند و سپس در روز ۱۴ به مظاهر القای بلوغ ۱۰ نانوگرم بر میلی لیتر TNF-(-) و یا ۱ نانوگرم بر میلی لیتر LPS به محیط کشت اضافه شد و کشت به مدت ۴ روز دیگر ادامه یافت. در روزهای ۱۰، ۱۲ و ۱۴، موروفولوژی و فتوتیپ سلول‌ها توسط میکروسکوپ نوری و فلوریسمتری مورد بررسی قرار گرفت و عملکرد سلول‌های دندربیک بالغ و نابالغ نیز توسط واکنش مختلط لکوپیتی و سنجش سیتروکاین‌های IL-۱ و IL-۱۰ ارزیابی شد.

* یافته‌ها: هم کمی سلول‌های بنیادی خون‌ساز و متoscیت‌های خون بدنناف، سبب تولید سلول‌های دندربیک با ظاهر ویلی‌دار شد که شاخص‌های سلول‌های دندربیک را بیان می‌کردند. افزایش اولیه TNF سبب افزایش بقای سلول‌ها در مفتله اول کشت و تولید DC های بالغ با شاخص‌های بلوغ بیشتر شد که توانایی ترشح مقداری زیادی IL-12 را دارا بودند. در عرض، افزایش TNF- α تنها به عنوان فاکتور بلوغ و در انتها کشت، سبب تولید مجموعه هتروژئی از سلول‌های DC بالغ، نابالغ و سلول‌های بنیادی شد که توانایی ترشح IL-12، IL-10 و IL-1 بیشتری داشتند. در هر دو گروه DC بالغ سبب افزایش تکثیر آلوئن شد.

* نتیجه‌گیری: در این مطالعه روشی ساده و کم هزینه برای تولید سلول‌های دندربیک از سلول‌های تک هسته‌ای خون بدنناف بدون انجام مراحل دشوار تخلیص سلولی ارائه شده است و مشخص شد حضور TNF در روزهای اولیه کشت و نیز حضور سایر سلول‌های تک هسته ای منجر به تولید سلول‌های دندربیک هموزن تر با توانایی تولید CD14 CD14 می‌شود. به نظر می‌رسد TNF با اثر بر سلول‌های دندربیک و متoscیت که در مخلوط سلوی وجود دارند، سبب ورود سلول‌های بنیادی خون‌ساز به مسیر میلاریدی می‌شوند و منجر به تولید سلول‌های دندربیک از نوع DC1 می‌شوند. این روش مدلی ساده برای پیگیری پیامد تمايز سلول‌ها دندربیک در حضور TNF- α که در شرایط التهابی و برخی بیماری‌ها همچون آرتیت روماتوید افزایش می‌یابد، ارائه می‌دهد.

کلیدواژگان: سلول‌های تک هسته، خون بدنناف، سلول‌های دندربیک، فاکتور آلفا نکروز دهنده تومور

فصلنامه پژوهشی پاکت، سال نهم، شماره ۲، تابستان ۱۴۰۰، صفحات ۱۴۰-۱۷۹

مقدمه

سلول‌های دندربیک (Dendritic Cell: DC) سلول‌های حرفه‌ای عرضه کننده آنتی‌ژن (Antigen Presenting Cell: APC) به منظور تحریک لنفوцит‌های T باکره و تولید پاسخ‌های ایمنی هستند. آنها در سطوح کم در بافت‌ها و جریان خون وجود دارند و بسیاری از اعمال لنفوцит‌ها را تنظیم می‌کنند (۱، ۲). برای تولید DC به منظور اهداف درمانی دو مسیر متفاوت وجود دارد:

اثر افزایش α -TNF بر عملکرد سلول دندربیتیک

سازارین به دست آمد. به طور خلاصه پس از زایمان و خروج جفت، مکان خون گیری توسط محلول بتادین/الکل تمیز و خون سیاهرگ توسط سر سوزن G1118 و با استفاده از سرنگ های ۲۰ سی سی آفته به ۳/۵ سی سی سیترات فسفات دکستروز آدنین (Dextrose Adenine: CPDA, Phosphate Dextrose Adenine: HAES 10%, Free Flex SM ۱۰%: ۷۱۱۲۰۲) محلول گردید (۱) میلی لیتر از HAES ۱۰ درصد با ۵ میلی لیتر از خون، پلاسمای غنی از لکوستیت پس از ۱ ساعت، جمع آوری و به روی نشفودکس با گرددیان ۱/۰۷-۱/۰۸ گرم بر سانتی متر مربع (InnoTrain, H9L6114, Germany) (متقل شد) (۱۷). سلول های تک هسته پس از ساترین گیوژ به مدت ۳۰ دقیقه با دور ۶۰۰ جدا و پس از شستشو توسط بافر فسفات نمکی (PBS) حاوی ۰/۰۲ میلی مولار EDTA و ۵ درصد سرم چین گاو (FCS) تریبان بلو (۴) درصد در PBS محاسبه شد.

کشت سلول های تک هسته ای خون بندناف

میزان ۱۰^۶ سلول در هر چاهه ک پلیت ۶ خانه ای (TPP, Germany) و در ۲ میلی لیتر RPMI ۱۶۴۰ حاوی ۱۰ درصد FCS واحد بر میلی لیتر پنی سلین و ۱۰۰ میکرو گرم بر میلی لیتر استریتو مایسین (15070-063, Gibco, Germany)، ۲ میلی متر ال گلوباتین (250c-024, Gibco, Germany) (به مدت ۱۴ روز) کشت شدند. ۵ نانو گرم بر میلی لیتر از سیتوکاین های (308-FK) (204-IL-10, R&D, Germany) (IL-4 ۲۵ نانو گرم بر میلی لیتر از Flt3L و لیگاند C-Kit یا 255-SC, R&D, USA) (25)، ۱۰۰ نانو گرم بر میلی لیتر GM-CSF (GM-CSF USA) (215-GM, R&D, GM-CSF USA) (204-IL-10, R&D, Germany) در روز های ۰ و ۷ به محیط کشت اضافه شدند و در دمای ۳۷ درجه سانتی گراد و ۵ درصد CO₂ انکو کرده شدند (۲۰). محیط کشت هر هفته توسط تخلیه نیمی از محیط کشت تعویض شد. در روز ۱۴ محیط سلول ها به طور کامل تعویض و محیط کشت کامل به همراه سیتوکاین های (۵۰ نانو گرم بر میلی لیتر) GM-CSF (۵۰ نانو گرم بر میلی لیتر) (۲۵) IL-4 (۱۰ نانو گرم بر میلی لیتر) و ۱۰ نانو گرم بر میلی لیتر از TNF-α، 210-TA, R&D, (Germany) به عنوان عامل بلوغ در دو دوز طی فواصل دو روز به سلول ها اضافه شدند و کشت به مدت ۴ روز دیگر ادامه یافت (شکل ۱).

افزایش TNF-α

سلول ها بر اساس زمان افزایش فاکتور آلفا نکروز دهنده توموری به

۱. تمايز از منويت های خون بندناف، مغز استخوان و یا خون محیطي در پاسخ به ترکیبات سیتوکاینی متفاوت مثل فاکتور تحریک کننده کلوبنی ماساکروفاژ / گرانولومیت (GM-CSF)، ایسترولوکین ۴ (IL-4) و فاکتور آلفا نکروز دهنده تومور (TNF-α) (۳) یا ایسترولوکین CD34 (۱۳) ۲. تمايز سلول های پیش ساز خون ساز (TNF-α و GM-CSF) توسيع کشت در محیط TNF-α و GM-CSF و تولید سلول های دندربیتیک (۴-۶).

از میان همه سیتوکاین هایی که در تولید سلول های دندربیتیک از منابع مختلف سلولی نقش دارند، TNF-α و GM-CSF نقش حیاتی و مهمی در تکوین DC از پیش ساز های خونی (۷)، سلول دندربیتیک فولیکولی (FDC) (۸) و تمايز نهایی سلول های دندربیتیک مشتق از منويت های (۷) به عهده دارند. TNF-α به عنوان محرك پاسخ ایمنی شناخته شده است و در پاسخ به التهاب، ورود پاتوژن ها، تحریکات فیزیولوژیک، شیمیایی و بیولوژیک از سلول های منويت / ماساکروفاژ آزاد می شود (۹). در مطالعاتی که بر روی سلول های TNF-α با هدف CD34⁺ تمايز به سلول های دندربیتیک صورت گرفته است، TNF-α در ابتدای کشت اضافه و در نهايیت جمعیت هتروژنی از سلول های دندربیتیک حاصل می شود (۱۰-۱۱). در مطالعاتی که زنگ بر روی سلول های منويت مشتق از خون بندناف انجام داد به مقایسه افزایش اولیه و تاخیری TNF-α هنگام تمايز این سلول ها به DC پرداخت و نشان داد تاخیری TNF-α هنگام تمايز این سلول ها به DC توانایی بیشتری برای تکثیر سلول های T آلوژن داشتند (۱۲). در مطالعه مولدهور و همکارانش و نیز ون گوین و همکارانش مشخص شد که آندوتولیوم تحریک شده با TNF-α سبب تولید DC بالغ از سلول های CD34⁺ می شود (۱۳، ۱۴). با این وجود مطالعه ای در زمینه اثر زمان افزایش TNF-α به کشت هم زمان سلول های منويتی و سلول های بنیادی خون ساز وجود ندارد. این مطالعه در جهت بررسی اثر افزایش اولیه TNF-α به سلول های تک هسته ای خون بندناف به منظور تولید DC صورت گرفت. از آنجا که شاخص های CD80، CD83، CD86 و CD88 برای فعال سازی لنفوسيت های T توسط سلول های دندربیتیک ضروری هستند (۱۵)، این شاخص ها به همراه a1CD، c11CD و b1CD برای بررسی و ارزیابی سطح بلوغ مورد ارزیابی قرار گرفتند. هم چنین میزان بیان شاخص های میلوبیدی CD14 و CD34 (CD14 به منظور ارزیابی سلول های تمايز نیافته و یا نیمه تمايز یافته مورد مطالعه قرار گرفت. در نهايیت از آنجا که در این مطالعه از سلول های خالص شده که نیازمند مراحل خالص سازی پرهزینه و زمان بر است استفاده نشد، اثر هم کشته سلول های منويتی و سلول های بنیادی / پیش ساز های خونی در تولید و بلوغ DC نیز مورد بررسی قرار گرفته است.

مواد و روش ها

جمع آوری خون بندناف و جداسازی سلول های تک هسته
۱۰ نمونه خون بندناف از نوزادان سالم (HIV-, HBS-, HCV-) با دوره حاملگی ۹ ماه کامل و از مادران سالم غیر بدبختی در هنگام

چاهک پلیت ۹۶ خانه‌ای ل شکل اضافه شد. سپس به آنها 1×10^{-4} سلول دندربیتیک غیرفعال (سلول محرک) در سه تکرار اضافه شد. به این ترتیب نسبت محرک به پاسخ دهنده ۱:۱۰ است. پس از ۵ روز کشت، به مجموعه سلولی فوق میزان ۵۰ میکروکوری از تیمیدین رادیواکتیو (Amersham, Sweden) به هر چاهک اضافه و ۱۸ ساعت بعد سلول‌ها توسط هاروست کننده سلولی (A3ICN Flow co, USA) به روی فیلترهای مخصوص منتقل و میزان برداشت تیمی دین رادیواکتیو (Wallach pharmacia, Sweden) β توسط دستگاه شمارش گر اندازه گیری شد.

سنجش سینتوفکابن‌های ۱۲-۱۰ و ۱۱

برای سنجش IL-1 و IL-10 در محیط کشت سلول‌های دندانیک و MLR از کیت الیزای IL-12 (7929-88 eBioscience, USA) و انسانی IL-10 (88-7106, eBioscience, USA) مطابق با دستور کارخانه استفاده شد. سوب کشت سلولی در انتهای MLR و یا در انتهای کشت DC جمع‌آوری و در دمای ۷۰ درجه سانتی‌گراد نگهداری شد (حداقل یک ماه).

آنالیز آماری

اکثر آزمایش‌ها حداقل در ۳ تکرار انجام شد. از تست کلوموگروف اسپیریونوف برای بررسی نرمال بودن گروه‌ها استفاده شده است و داده‌های به دست آمده با استفاده از آزمون غیربا امارتیک (-Mann Whitney) و بر نامه آماری SPSS10 مورود تجزیه و تحلیل قرار گرفت. تست توکی برای مقایسه دو گروه مورود استفاده قرار گرفت. داده‌ها به صورت میانگین ± انحراف معیار گزارش شد و اختلاف $P<0.05$ معنی دار گزارش شد.

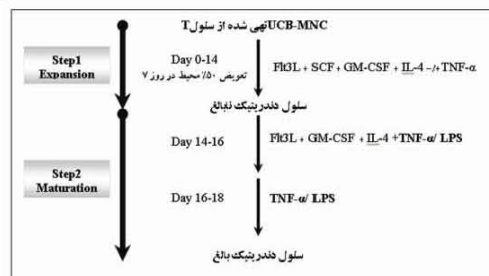
بافتہا

اثر افزایش TNF- α در ابتدای کشت بر تکثیر سلول‌های نکهسته‌ای

سلول‌های تک هسته به طور تازه از خون بیندازی نوزادان سالم جدا و سلول‌های آنها به روش روزت جدا شد. به این ترتیب از ۴۸/۲۵±۷/۹٪ میلی‌لیتر خون بیندازی، میزان $10^9 \times 10^9 \times 10^9 \times 10^9$ (۱۷۷/۹±۸۰/۸۸) سلول تک هسته حاصل شد و میزان $10^9 \times 10^9 \times 10^9 \times 10^9$ (۷۹/۵۲±۴۴/۸۹) سلول روش روزت جدا شد (جدول ۱).

نتایج شمارش سلولی و محاسبه سلول‌های زنده در دو گروه TNF(+) و TNF(-) طی روزهای ۰، ۷، ۱۴ و ۱۸ نشان داد که افزایش اولیه ۳ نانوگرم بر میلی لیتر (TNF α) سبب افزایش تکثیر سلول‌های اولیه خون‌ساز و حفظ بقای سلول‌های پیش‌سازی در کشت‌های کوتاه مدت (هفتة اول) می‌شود ($P=0.03$)، به طوری که تعداد سلول‌ها در گروه (+) TNF طی ۷ روز ابتدایی 1 ± 1.3 برابر و در گروه (-) TNF تعداد سلول‌ها $3/4\pm1/4$ برابر نسبت به روز آغازین کشت افزایش یافت (جدول ۱).

دو گروه سه تایی تقسیم شدند. در گروه اول یا TNF- α میزان ۳ نانوگرم بر میلی لیتر از TNF- α در روز اول و هفتم (دوز نگهدارنده) به محیط کشت اضافه شد و کشت به مدت ۱۴ روز در این شرایط ادامه یافت. در روز ۱۴ پس از تعریض کامل محیط، محیط القای بلوغ به سلول‌ها اضافه شد. در گروه دوم یا (-)TNF طی روز اول ۱۴ TNF- α به محیط کشت اضافه نشد و سلول‌ها در انتها توسعه محیط القای بلوغ حاوی TNF- α ، بالغ شدند (شکل ۱) (۲۱).



شکل ۱: تماش شماتیک شرایط کشت UCB-MNC

آنالیز فلوسایتومتری

سلول ها به منظور بیان شاخص های سلول دندوپیتیک در روز ۰، ۱۷، ۱۸، ۱۹، ۲۰ مورد بررسی قرار گرفتند. برای بررسی شاخص های سلولی از آنتی بادی های کوتوژنگ با فلورورسین ایزوتوپیو سنات (FITC) و (FITC-NA1/34)، فیکاربرترین (PE) ضد شاخص های (FITC-KB90) CD11c، (PE-TUK4، CD14، F7141) CD1a شرکت (FITc، MCA 1582F)، (USA) R&D Ro864) شرکت HLADR(FITC-EDVL، AHVO 188)، Serotec (FITC، 130-081-001)، CD34، (USA) Biosource شرکت (Germany) MACS استفاده شد. از آنتی بادی های IgG2a- IgG1-FITC(X0927)، IgG1-PE(X0928.) FITC(X0933) شرکت Dako به عنوان کنترل منقی استفاده شد. به طور خلاصه ۱۰۰ میکرو لیتر از سلول ها با ۱۰ میکرو لیتر از هر آنتی بادی به صورت دور زنگ و یا تنگ رنگ انکوبه شدند. مدت زمان رنگ آمیزی بر مبنای سفارش شرکت سازنده انتخاب شد. برای هر ترمته از کنترل ایزو تیپ مناسب استفاده شد. برای جداسازی DC های چسیده به کف پلیت از محلول PBS سرد حاوی ۰/۵ درصد EDTA به مدت ۱-۳ دقیقه استفاده شد (۲۲). فلوسایتومتری با استفاده از دستگاه FACScan (Becton Dickinson, USA) با حداقل ۱۰۰۰۰ سلول صورت گرفت و نتایج با استفاده از ترم افزار FACScan و یا WinMDI مورد تجزیه و تحلیل قرار گرفتند.

(MLR) واکنش مختلط لکوسینتی

سلول‌های دندربیتک حاصل توسط 25×10^6 میکروگرم بر میلی لیتر میتوانید (MA287, Sigma, USA) غیرفعال شدند. لنفوцит‌های T خون محیطی (سلول پاسخ دهنده) به روش روزت جدا و به تعداد 1×10^6 سلول در $100 \mu\text{l}$ بیکروولتر محیط کشت کامل به هر

اثر افزایش TNF- α بر عملکرد سلول‌های دندریتیک

جدول ۱: مشخصات نمونه‌های خون بندناf، تعداد سلول‌ها و میزان تکثیر سلول‌های تک هسته‌ای جدا شده از خون بندناf. در گروه (TNF+) سلول‌ها به مدت ۱۲ روز در حضور ۳ نانوگرم بر میلی‌لیتر از TNF کشت شدند و سپس در روز ۱۴ به مدت ۲ روز دیگر توسط دو دوز از ۱۰ نانوگرم بر میلی‌لیتر از TNF بالغ شدند. در گروه (TNF-) سلول‌ها به مدت ۱۲ روز در محیط عاری از TNF کشت شده و توسط دو دوز از ۱۰ نانوگرم بر میلی‌لیتر از TNF بالغ شدند. اعداد در جدول به صورت میانگین \pm SD نشان داده شده‌اند.

Isolation Step	Expansion Step									
	روز ۰		روز ۷		روز ۱۰		روز ۱۴		روز ۱۸	
UCB Volume (ml)	TNF-	TNF+	TNF-	TNF+	TNF-	TNF+	TNF-	TNF+	TNF-	TNF+
MNC Count (10^6)	۱۷۷/۴۳۸/۸	Count ($\times 10^6$)	۰/۶۰/۱	۱/۴۵/۰/۶	۲/۸۰/۰/۶	۵/۸۰/۲/۲	۱۱/۰/۲/۷	۱۹/۴۵/۲/۰	۲۱/۷۸/۸/۰	۱۲/۷۴/۸/۱
MNC Viability (%)	۹۳/۹۱/۸/۷	Fold	۳/۱۱/۱/۲	۶/۱۱/۱/۳	۲/۸۰/۰/۷	۷/۸۰/۰/۲	۷/۷۱/۱/۰	۱/۸۰/۰/۶	۱/۱۱/۰/۲	۰/۸۰/۰/۱

بررسی فتوتیپی توسط فلوسیتمتری در هر دو گروه نشان داد که در این زمان شاخص‌های CD86, CD83, CD80 کشت شده از گروه TNF- α نسبت به روز آغازین کشت از بیان پایینی در هر دو گروه برخوردار بودند و اختلاف معنی داری نیز بین گروه‌ها مشاهده نشد ($p > 0.08$). مقایسه میزان افزایش معنی داری نداشت، (۰/۱۴ \pm ۰/۰۸ درصد سلول CD14 $^{+}$ و CD34 $^{+}$ در گروه (TNF+) نسبت به (TNF-)). افزایش معنی داری نداشت، (۱۵/۵۵ \pm ۰/۱ درصد سلول CD14 $^{+}$ و CD34 $^{+}$ در مقایسه با ۰/۹ \pm ۰/۳ درصد و ۵/۵۵ \pm ۰/۱ درصد) (شکل ۳a). با افزایش زمان کشت به ۱۴ روز، سلول‌های که در روز صفر آزمایش TNF دریافت داشته بودند، سلول‌های شبه HSC کمتری داشتند (۲۵/۳ \pm ۰/۰ درصد در مقابله با ۴۵-۶۰ درصد) در گروه (TNF-). تعداد کلونی‌های چسبان که سلول‌های دندریتیکی در حاشیه آنها دیده می‌شد و از روز ۱۰ شروع به تشکیل شدن کرده بودند، در روز ۱۴ کشت در گروه (TNF+) بیش از گروه (TNF-) بود. سلول‌های مشابه متونیتی‌های خون محیطی و نیز شبه DC در گروه (TNF+) نیز از تعداد بیشتری برخوردار بود (شکل ۳b, d). در این زمان میزان سلول‌های CD11c $^{+}$ و CD1a $^{+}$ در هر دو گروه افزایش و سلول‌های CD34 $^{+}$ کاشت یافته (۰/۰۰ \pm ۰/۰۱ درصد) (شکل ۳c). کاشت سلول‌های CD34 $^{+}$ در گروه (TNF+) بیش از گروه (TNF-) بود (۰/۰۰ \pm ۰/۰۳ درصد در مقایسه با ۰/۰۷ \pm ۰/۰۳ درصد). از سوی دیگر میزان سلول‌های CD14 $^{+}$ نیز در این زمان در گروه (TNF+) نسبت به گروه (TNF-) افزایش قابل توجهی یافت (۰/۰۷ \pm ۰/۰۱ درصد در مقایسه با ۰/۰۷ \pm ۰/۰۱ درصد) (شکل ۳a, e). این در حالی بود که میزان سلول‌های CD1a $^{+}$ نیز ۷ روز پس از کشت در گروه (TNF-) نسبت به گروه (TNF+) افزایش نشان داد (۰/۰۹ \pm ۰/۰۴ درصد در مقایسه با ۰/۰۷ \pm ۰/۰۴ درصد) (شکل ۳a). شکل ۳b و شکل ۳c. بیان کم شاخص‌های بلوغ (CD80, CD86, CD38, CD11c $^{+}$, CD1a $^{+}$) در روز ۱۴ بیانگر عدم تکوین بلوغ DC در هر دو گروه بود، هر چند که افزایش بیان CD1a $^{+}$ شاهدی بر تکوین DC نابالغ بود (شکل ۳b و ۳c). القای بلوغ با افزایش ۱۰ نانوگرم بر میلی‌لیتر از TNF- α در دو مرحله و به فواصل دور از ۰-۷۰ درصد افزایش یافت. به این ترتیب در روز هفتم حدود ۶۰-۷۰ درصد از سلول‌ها در هر دو گروه ظاهری نامشخص و سلول‌های گرد و شناور، مشابه با سلول‌های خون‌ساز (HSCs) و باقی‌مانده سلول‌ها ظاهری شیوه سلول‌هایی با مورفولوژی تبیک DC در هر دو گروه شد. سلول‌هایی DC داشتند (شکل ۳b, c).

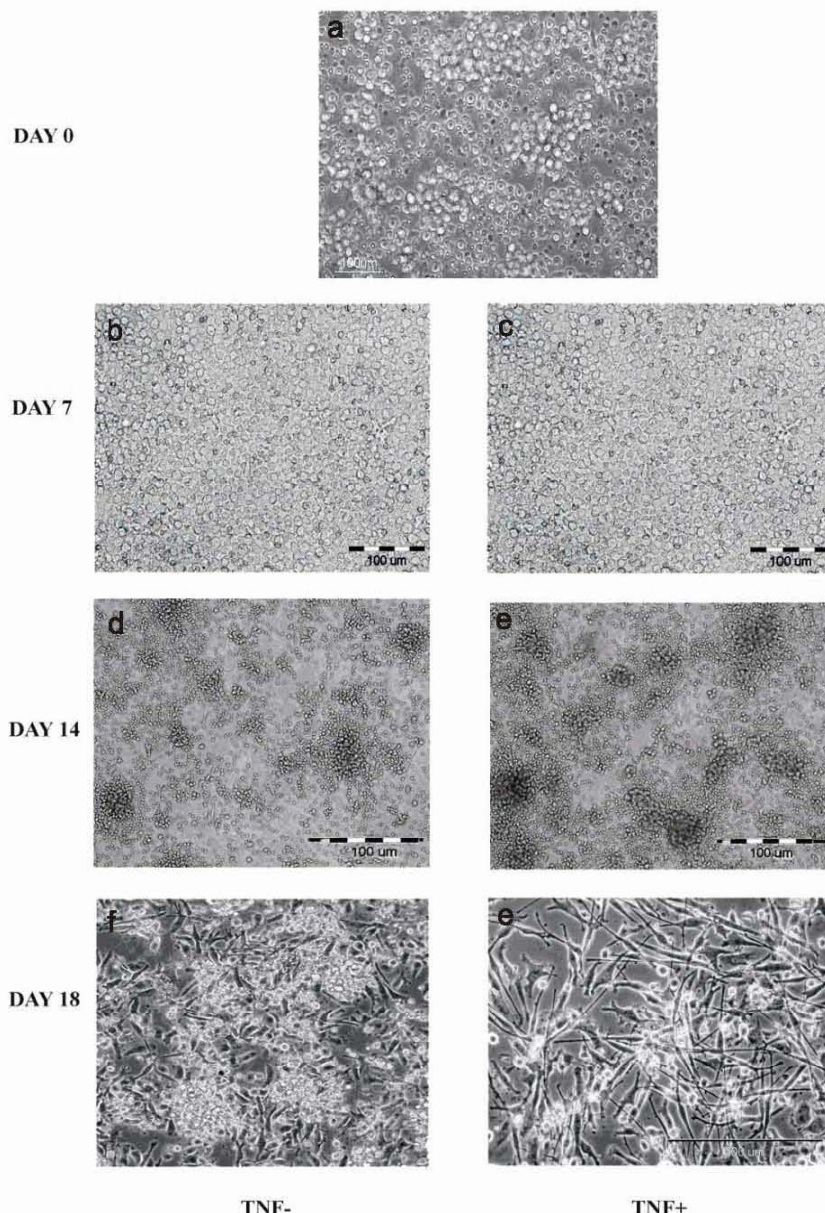
افزایش زمان کشت به ۱۴ روز سبب کاهش تعداد سلول‌ها در گروه TNF- شد. به این ترتیب طی ۱۴ روز کشت در حضور TNF تعداد سلول‌ها $24/59 \pm 7/30$ درصد کاهش و در غیاب TNF $45/17$ درصد افزایش یافت. مانکریم افزایش تعداد سلول‌ها در گروه (TNF+) در روز ۷ و در گروه (TNF-) در روز ۱۸ مشاهده گردید (جدول ۱). القای بلوغ در هر دو گروه توسط TNF- α در روز ۱۸ کشت سبب تولید $12/25 \pm 6/12 \times 10^6$ سلول بالغ در گروه (+) و TNF- در گروه (-) $21/63 \pm 8/59 \times 10^6$ در گروه (-) از TNF- α شد (جدول ۱).

اثر افزایش اولیه TNF- α بر مورفولوژی و فتوتیپ سلول‌های دندریتیک

مشاهده میکروسکوپی سلول‌های تک هسته‌ای خون بندناf که به روش روزت، سلول‌های T آنها جدا شده بود، سلول‌هایی با اندازه‌های متفاوت و شناور را نشان داد. در بین سلول‌های جدا شده، تعداد زیادی سلول منوپتی نیز دیده می‌شد (شکل ۴a). بررسی شاخص‌های سلولی در همین زمان با استفاده از فلوسیتمتری و آنتی‌بادی‌های کوتیزونگ با فلوكروم‌ها انجام گرفت. نتایج نشان داد که $1/59 \pm 1/39$ درصد از سلول‌ها CD34 $^{+}$, $CD14^{+} 27/9 \pm 12/2$ درصد, $CD11c^{+} 12/8 \pm 13/8$, $CD1a^{+} 29/9 \pm 18/6$, $CD11c11c^{+} 1 \pm 25/1$, $CD80^{+} 34/4 \pm 34/0$ درصد, $CD86^{+} 17/3 \pm 17/2$, $CD83^{+} 1 \pm 34/1$, $HLA-DR^{+} 1 \pm 31/1$ درصد از سلول‌ها در دو محیط حاوی سیتوکاین‌ها و [گروه (TNF+) و فاقد (TNF-)] گروه (-) به مدت ۱۴ روز کشت شد. شمارش سلولی نشان داد که طی ۳ روز ابتداً بیش از میزان مرگ سلولی افزایش یافته است. کاهش تعداد سلول‌ها در گروه (+) بیشتر از (TNF-) بود ($p < 0.05$). سپس سلول‌ها شروع به تکثیر گردند که در این حالت از نظر اندازه بزرگتر و نسبت هسته به سیتوپلاسم آنها افزایش یافت. به این ترتیب در روز هفتم حدود ۶۰-۷۰ درصد از سلول‌ها در هر دو گروه ظاهری نامشخص و سلول‌های گرد و شناور، مشابه با سلول‌های خون‌ساز (HSCs) و باقی‌مانده سلول‌ها ظاهری شیوه DC داشتند (شکل ۴b, c).

۱۶ MNC در حضور IL-4 و SCF, Flt3L, GM-CSF روز و القای بلوغ توسط TNF- α سبب تولید ۴۴/۶ درصد سلول CD80، ۲/۷ درصد سلول CD83+ و ۴۹/۰ درصد سلول CD86+ شد. افزایش درصد سلول های CD1a+ و CD34+ در گروه (-) TNF میکروسکوپ همچنان تر بوده و در ظاهر از خلوص بیشتری برخوردار بودند (شکل ۳g). افزایش بیان شاخص های سطحی سلول های دندریتیک بالغ همچون CD80 و CD83 پس از افزایش فاکتور بلوغ خصوصا در گروه (+) TNF نشان دهنده ایجاد سلول بالغ در این گروه است (شکل ۳c). به این ترتیب کشت سلول های UCB-

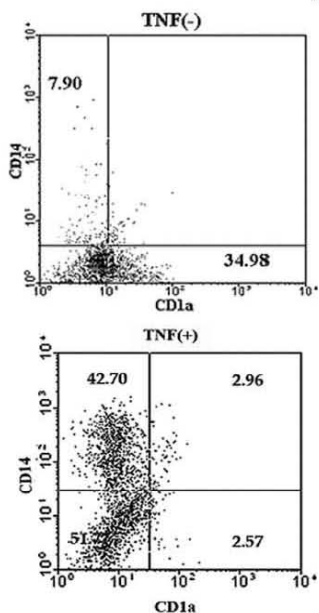
شناور و یا چسبیده با مقادیر زیادی بیرون زدگی سیتوپلاسمی در اطراف سلول ها مشاهده شد. در گروه (+) TNF سلول ها دندریتیکی حاصل در زیر میکروسکوپ همچنان تر بوده و در ظاهر از خلوص بیشتری برخوردار بودند (شکل ۳a، ۳g). افزایش بیان شاخص های سطحی سلول های دندریتیک بالغ همچون CD80 و CD83 پس از افزایش فاکتور بلوغ خصوصا در گروه (+) TNF نشان دهنده ایجاد سلول بالغ در این گروه است (شکل ۳c). به این ترتیب کشت سلول های UCB-



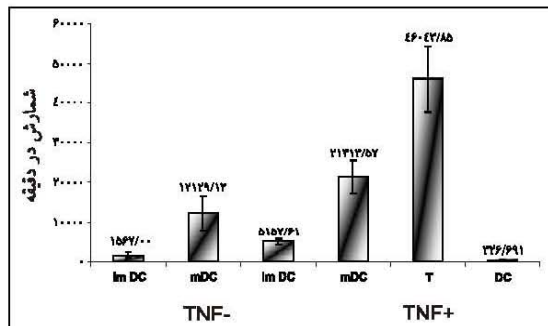
شکل ۲: تصویرین سلول های منوسبت خون بدنناف نهی از سلول T (a)، سلول های کشت شده در روز ۷ (b، c)، روز ۱۴ (d، e)، روز ۱۸ و ۲۲ ساعت پس از افزایش فاکتور بلوغ TNF (f، g) سلول های ردیف سمت راست، TNF را از ابتدای کشت دریافت داشته اند و سلول های ردیف چپ پس از افزایش فاکتور بلوغ نهیافت داشته اند. بزرگنمایی تصاویر $\times 20$ میکرومتر (Scale Bar: $\times 100$)

اثر افزایش $TNF-\alpha$ بر عملکرد سلول دندانیتیک

افزایش اولیه TNF بالغ شده‌اند (روز ۱۸) میزان برداشت تیمیدین رادیواکتیو بیشتری نسبت به گروهی که TNF را در انتهای کشت و به عنوان فاکتور بلوغ دریافت کرده‌اند، دارا هستند ($p=0.01$) ($21313/57 \pm 4180/04$ در برابر $13 \pm 4554/02$). علاوه بر این که DC‌های نابالغ (روز ۱۴) تولید شده در حضور TNF ، سطح بالایی از برداشت تیمیدین رادیواکتیو را نسبت به سلول‌های نابالغ گروه $TNF(-)$ نشان دادند ($5157/61 \pm 389/32$ در برابر $5157/60 \pm 684/48$) ($p=0.001$).
شکل ۵.

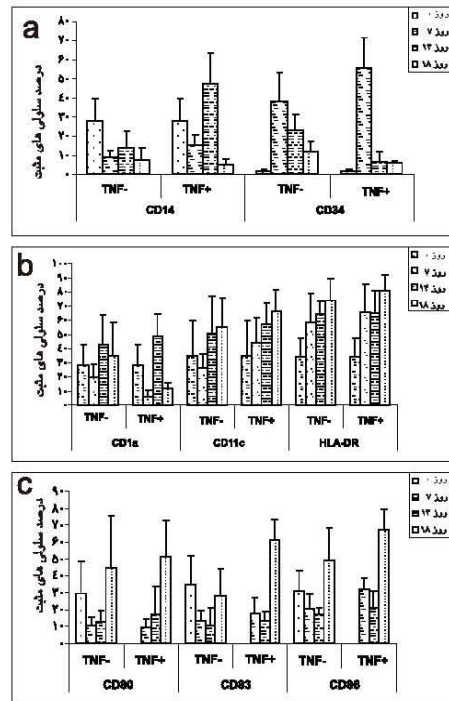


شکل ۵: بررسی بیان همزمان سلول‌های $CD1a+$ و $CD14+$ در دو گروه $TNF(-)$ و $TNF(+)$



شکل ۶: تکثیر سلول‌های T آلوئن توسط سلول‌های دندانیتیک نابالغ و بالغ در دو گروه (+) و (-) TNF . نتایج به صورت میانگین اعداد نشان داده شده است SD±

سنجه سایتوکاین‌های IL-12P70 و IL-10 توسط سلول‌های دندانیتیک حاصل از سلول‌های تک هسته‌ای خون بدنیاف در این مطالعه تولید هترودایسر IL-12P70 و IL-10 در



شکل ۷: بررسی بیان شاخص‌های $CD14$ و $CD34$ (a) $CD11c$ (b) و $CD83$, $CD80$, $CD63$, $CD86$ و $HLA-DR$ (c) بر سطح سلول‌های منوسیتی خون بدنیاف در حضور و یا عدم حضور TNF و در روزهای ۱۴ و ۱۸

بیان $HLA-DR$ در سلول‌های تک هسته تهی شده از سلول‌های T در سطح بالایی بیان شد و با افزایش زمان کشت افزایش یافت و دو گروه از نظر بیان این شاخص تفاوت معنی داری نشان ندادند ($p>0.05$). در مجموع زمانی که TNF در روزهای آغازین به محیط کشت سلول‌ها اضافه شد، بیان شاخص‌های $CD83$, $CD80$, $CD11c$, $CD86$ و $HLA-DR$ بر سطح سلول‌های دندانیتیک افزایش و بیان $CD1a$ و $CD34$ کاهش یافت ($p=0.01$, $p<0.04$). بالاتر بودن تعداد سلول‌های بیان کننده $CD34$, $CD14$ و $CD1a$ در غیاب TNF طی زمان‌های اولیه کشت و اضافه کردن آن به محیط به عنوان عامل بلوغ، نشان دهنده باقی ماندن سلول‌ها در نیمه مسیر تکوین DC است (شکل ۷).

واکنش مختلط لکوسیتی

در روز ۱۸ کشت سلول‌های دندانیتیک بالغ به متنظر تحریک تکیه آلوئن در سلول‌های T توسط میتوماپین C غیرفعال شدند و سپس به نسبت ۱:۱۰ با سلول‌های T کشت شدند. میزان برداشت تیمیدین رادیواکتیو توسط سلول‌ها در هر گروه پس از ۱۸ ساعت تیمار با این ماده مورد بررسی قرار گرفت. همان طور که در شکل ۵ نشان داده شده است سلول‌های دندانیتیک تولید شده در هر دو گروه ۵ نشان داده تکثیر آلوئن در سلول‌های T می‌شوند، و سلول‌هایی که در حضور

IL-4 و IL-10) ترشح می‌شود (۲۳). به منظور بررسی ترشح DC توسط سلول‌های T تحریک شده با سلول‌های دندربیک، DC‌های تولید شده به منظور حذف سیتوکاین‌های مورد استفاده در کشت و قبل از ورود به MLR شستشو و سپس به سلول‌های آلوئن به مدت ۵ روز اضافه شدند. سنجش ۴۸ ساعت پس از تحریک انجام گرفت و نتیجه سه آزمایش مجزا نشان داد که هر دو گروه قادر به القای سلول‌های T تولید کننده IL-10 هستند (شکل ۶c). در این آزمایش‌ها DC در گروه TNF- سلول‌های تولید کننده IL-10 بیشتری نسبت به گروه TNF+ ایجاد می‌کند (به ترتیب 6.0 ± 0.6 ، 4.3 ± 0.4 و 4.0 ± 0.5 و 3.6 ± 0.4 و 3.5 ± 0.5 پیکوگرم بر میلی‌لتر) ($p < 0.01$).

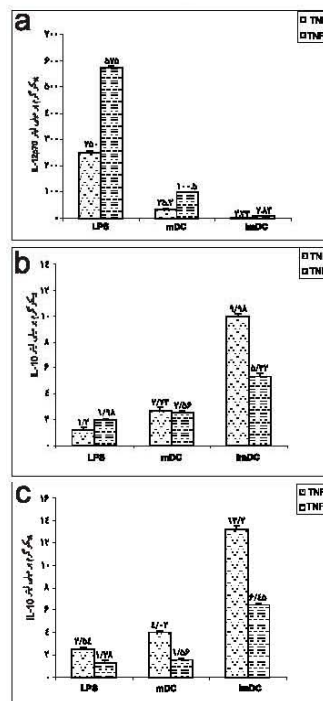
بحث

استینمن و کوهن برای اولین بار سلول‌های دندربیک را به عنوان دسته جدیدی از سلول‌هایی که در اعضا لغای محيطی موش‌ها مستقر هستند معرفی کردند (۲۴). پس از آن استینمن و بیشتر اثر تحریکی این سلول‌ها را در واکنش مختلف لنفویتی گزارش کردند (۲۵) و به این ترتیب وظیفه این سلول‌های در عرضه آنتی‌زن‌ها و فعالیت‌سازی T مشخص شد (۲۶). تا به امروز مطالعات زیاد به تولید و تمايز سلول‌های دندربیک از منابع منویتی و یا سلول‌های CD34+ توسط ترکیبات سیتوکاینی متفاوت (۲۷) و یا تحریک توسط برخی پاتوزن‌ها و یا ترکیبات الیاپتیک پرداخته‌اند (۲۸).

TNF α میدیاتور اولیه پاسخ‌های اینمی در پاسخ به شرایط التهابی و پاتولوژیک، عفونت‌ها، شوک، بیماری‌های اتوایمیون و دفع پیوند باقی است. طی مسیر خون‌سازی TNF α به عنوان تنظیم‌کننده مثبت و منفی تکثیر و تمايز سلولی عمل می‌کند. بیشتر روش‌هایی که سلول‌های دندربیک را از منابع سلول‌های پیش‌ساز خونی CD34+ تولید می‌کنند، TNF α را در ابتدای کشت سلول و در ترکیب با سایر سیتوکاین‌ها به کار می‌برند (۲۹) و یا از TNF α به عنوان فاکتور بلوغ برای تحریک و بلوغ DC مشتق از منویت‌ها استفاده می‌کنند (۳۰). در حقیقت TNF α با افزایش بیان گیرنده‌های GM-CSF بر سطح سلول‌های در حال تکوین و القای و قایع آپوپتوزی در کمپارتمان گرانولوسی (۳۱)، سبب تسهیل تکوین فوتیپ و مورفو‌لوری سلول‌های دندربیک می‌شود (۳۲).

برای انجام ایمنوتراپی معمولاً DC‌ها از سلول‌هایی که توسط بیدهای مغناطیسی خالص شده‌اند، حاصل می‌شوند که این فرایند علاوه بر پرهزینه بودن، سبب ازدست رفتن سلول‌ها و نیز صرف زمان بسیار است. به علاوه مطالعات کمی در مورد تولید سلول‌های دندربیک بدون انجام پروسه خالص‌سازی وجود دارد. لذا در این مطالعه، با استفاده از یک روش ساده، ارزان قیمت و سریع تولید DC از سلول‌های نک هسته‌ای خون بدنای بدون هیچ فرایند تخلیصی صورت گرفت. و با استفاده از سایتوکاین‌های rhGM-CSF، rhFlt3L، rhSCF و IL-4 توپیکاین‌ها در حضور یا بدون حضور TNF α انجام شد. همچنین در

کشت‌های بالغ و نابالغ در هر دو گروه مورد بررسی قرار گرفت. نتایج نشان داد IL-12P70 توسط هر دو گروه ترشح می‌شود، اگرچه DC نابالغ در سطح پایین تری به ترشح این سیتوکاین می‌پردازد ($p > 0.05$ ، شکل ۶d). همچنین سلول‌های دندربیک بالغ در گروه TNF(+) تولید بیشتر IL-12 را در مقایسه با گروه (-) دارا هستند ($p = 0.01$) در برابر 1.00 ± 0.07 (۳۵) شکل ۶d. به عنوان LPS کنترل مثبت سبب افزایش ترشح IL-12 در هر دو گروه به میزان 25.0 ± 5.0 و 57.5 ± 5.0 شد (شکل ۶d).



شکل ۶: سنجش (a) و (b) در محیط کشت سلول‌های DC بالغ و نابالغ، سنجش (c) در محیط کشت واکنش (MLR)

ترشح IL-10 نیز در سوب کشت سلول‌های دندربیک ارزیابی شد و مشخص شد و میزان ترشح این سیتوکاین در سلول‌های نابالغ گروه TNF(-) بیش از گروه (+) بود (۹/۹۸ ± 0.17 در برابر $5/32 \pm 0.24$ پیکوگرم در میلی‌لتر) (۳۶). سلول‌های بالغ در هر دو گروه و نیز سلول‌های بالغ توسط LPS نیز مقادیر کمی ($p < 0.05$) ترشح می‌کردند. این نتایج توسط سه آزمایش مجزا تایید شد (شکل ۶b).

سنجش سایتوکاین IL-10 در کشت MLR

تولید سیتوکاین‌ها توسط سلول‌های T و با عرضه شاخص‌های آلوئنیک بر سطح DC و بیان مولکول‌های کمک تحریکی در MLR تنظیم می‌شود. بر اساس جمیعت‌های مختلف APC مشتق از منویت‌ها دو دسته سلول T ایجاد می‌شود. در گروهی IFN γ و در گروهی دیگر

اثر افزایش $TNF\alpha$ بر عملکرد سلول دندانیتیک

دادن CD14، افزایش بیان گیرنده MHCII، CD83، CD80 و CD86 همراه است (۱). نتایج این مطالعه نیز نشان داد سلول های که TNF را با تأخیر و در روز ۱۴ و ۱۶ به میزان ۱۰ نانوگرم بر میلی لیتر و تنها به عنوان عامل بلوغ دریافت کرده اند پس از بلوغ واحد مقداری زیادی از CD1a، CD14 و CD38 مکتربی از CD80، CD34+ و CD86 در مقایسه با گروه TNF (+) هستند. حضور مقداری قابل توجهی از سلول های CD34+ پس از انتعام تمایز و نیز افزایش تعداد سلول های در تمام مدت کشت نیز حاکی از ناقص ماندن مسیر تمایزی در این گروه است (جدول ۱ و شکل ۳) و احتمالاً نیازمند زمان بیشتری برای تکریب هستند که در این مطالعه صورت نگرفت. برخی مطالعات نشان داده اند که TNF α می تواند در تمایز سلول های به منظور تولید DC اثرات تحریک کننده و یا باز دارنده اعمال کند (۲۸، ۳۷). مکانیسم اثر افزایش تکثیر با مواجهه فوری با TNF α همچنان نامشخص است. اما همان طور که پیشتر اشاره شد، سبب افزایش گیرنده های GM-CSF شده و بنابراین بقای سلول های بنیادی پیش ساز خونی را افزایش می دهد، همچنین سبب تکثیر پیش سازها میلوبیدی می شود. در مطالعه ای که توسط چنگ و همکارانش انجام گرفته است مشخص شد که افزایش تاخیری و نه اولیه TNF سبب افزایش تولید DC از پیش ساز های CD34+ می شود (۳۹). همچنین موریسون و همکارانش نشان داده اند افزایش تاخیری TNF، اگرچه سبب تولید DC بیشتری می شود اما سبب ممانعت بلوغ و بیان کمتر CD80 پر DC های تولید شده از سلول های CD34 (۴)، این دو مطالعه از جهاتی با روشنی که ما به کار گرفتیم متفاوت است، اول آنکه منع سلولی در این مطالعه، سلول های خون بدنی از سلول های T بوده است و از سلول های خالص استفاده نشده؛ در حالی که در دو مطالعه فوق از سلول های CD34+ استفاده شده است. حضور سلول های منوسیتی و پیش ساز های خونی در کثارت هم در این مطالعه می تواند پاسخگوی برخی تفاوت ها از جمله افزایش سلول های CD80 باشد. دوم آنکه ترکیب سیتوکاینی این مطالعه نیز متفاوت است، به عبارت دیگر از ترکیب Fc γ L، SCF، Flt3L، GM-CSF استفاده شده است که تکثیر سلولی را خصوصاً در سلول های میلوبید افزایش می دهد و نیز از IL-4 که سبب بقای پیش ساز های میلوبیدی می شود. در حالی که در مطالعات فوق از ترکیب SCF و GM-CSF استفاده شده است. سوم آنکه در این مطالعه TNF در ابتدای کشت و نیز طی کشت با غلظت ۳۰ نانوگرم بر میلی لیتر اضافه شد و برای بلوغ سلول های دندانیتیک نیز در هر دو گروه از ۲ دوز TNF استفاده شد در حالی که در دو مطالعه فوق از ترکیب TNF به صورت کوتاه مدت در ابتداء، اواسط و یا اواخر کشت با محدوده متغیری از غلظت همراه بوده است. لذا دلایل فوق تفاوت های موجود بین این مطالعات و مطالعه ما را توجیه می کنند. هر چند برای رسیدن به یک نتیجه قطعی نیاز مطالعات بیشتری در زمینه مکانیزم اثر TNF بر سلول های CD14، CD34 و ترکیب این دو با هم هستیم.

در این مطالعه به منظور بررسی عملکرد DC در هر دو گروه، از واکنش مختلط لکوسیتی (MLR) و نیز سنجش سیتوکاین های ۱۰-IL-2 و

این مطالعه مقایسه اثر فوری و تاخیری TNF α بر خصوصیات فتوتیپی و ایمونولوژیک DC تولید شده صورت پذیرفت.

از آنجا که در این مطالعه از سلول های تک هسته ای بدون فرایندهای خالص سازی استفاده شده است، لذا تمام شاخص های مربوط به سلول های دندانیتیک (CD86، CD83، CD80) (درابتایی کشت اندازه گیری شدن). کاهش این شاخص ها پس از ۷ روز کشت می تواند به دلیل افزایش پیش ساز های خونی از جمله سلول های CD34+ و یا از بین رفتن سلول های واحد این شاخص ها در مراحل اولیه کشت باشد. این مطالعه نشان داد که مرگ سلولی طی ۳ روز ابتدایی کشت خصوصاً در گروه دریافت کننده TNF افزایش می یابد. یکی از وظایف القای آپوپتوز است. گیرنده های TNF بر سطح منویت ها، ماکروفالا، سلول های T و B بیان شده و میانکش TNFR1 با گیرنده TNFR2 سبب القای آپوپتوز در این سلول ها می شود (۳۴). در عوض میانکش با TNFR2 مانع القای آپوپتوز می شود (۳۵). نتایج کشت کوتاه مدت در حضور TNF نیز حاکی از مرگ اولیه سلول های تمایز یافته موجود در سلول های تک هسته خون بدنی و به دنبال آن افزایش تکثیر و تزايد سلولی و افزایش تعداد سلول های CD34+ بود که در راستای وظایف TNF است. همچنین TNF قادر به برآنگیختن طیف وسیعی از فعالیت های بیولوژیک شامل، تکثیر، تمایز، التهاب و مرگ سلولی است (۳۶). کاهش تعداد سلول های در گروه TNF (+) که پس از ۱۴ روز مشاهده شد نیز می تواند نشانه ای از ورود به مسیر تمایزی سلول های تکثیر باشد که در راستای افزایش سلول های CD14+ است (جدول ۱ و شکل ۳). کاهش بیان CD80، CD83، CD86 افزایش بیان CD14، CD1a، CD14، CD1a پس از ۱۴ روز در گروهی که TNF را طی روزهای اولیه دریافت داشته اند نیز دلیلی بر افزایش تمایز سلول های نابالغ دندانیتیک است. CD1a شاخص مولکولی DC مایی است که از منویت مشتق شده اند و در ارتباط با فرایند عرضه آنتی زن به DC است و بیان آن بر سطح سلول های دندانیتیک نابالغ مشتق از منویت ها افزایش می یابد. CD14 که از شاخص سلول های منویتی است طی تمایز به سمت DC کاهش می یابد (۳۶). در این مطالعه افزایش سلول های در گروه TNF (+) و کاهش آن طی تمایز نهایی و به دنبال افزایش TNF در دو مرحله و به فواصل دو روز نشان دهنده تمایز سلول های با شاخص CD34 به سمت CD14 و سپس تولید DC است. افزایش CD1a در این مرحله در این گروه ناشی از تمایز پیش ساز های منویتی و یا منویت های موجود در محیط کشت است. به این ترتیب به نظر می رسد که تکریب DC از دو مسیر تمایزی غیروابسته به هم رخ می دهد که شامل مسیر CD14+ و CD1a+ است (۳۶) و سلول های در حضور اولیه TNF پیشتر وارد مسیر CD14+ و در غیاب آن وارد مسیر CD1a+ می شوند CD83 از شاخص های بلوغ سلول های DC انسانی و CD80، CD86 نیز از جمله فاکتورهای کمک تحریکی مهم در تکثیر سلول های T به واسطه DC هستند که در سطح سلول های بالغ دندانیتیکی افزایش می یابند (۱۰، ۱۵ و ۳۵). بر اساس مطالعات استینمن و همکارانش، فتوتیپ اکثر DC های بالغ با از دست

حصول یک نتیجه بهتر برای تولید DC از منابع سلول CD34+ و یا تک هسته‌ای خون بدناف، TNF در هفته اول به کشت اضافه شود که سبب تکثیر پیش‌سازها و ممانعت از آپوپتوز در مراحل اولیه شود و طی کشت نیز به منظور ممانعت از مرگ سلول‌های در حال تکوین از خلقتی پایین تر از ۳ نانوگرم بر میلی لیتر استفاده شود. از سوی دیگر شواهد موجود در این مطالعه بیان می‌دارد که حضور TNF از ابتدای کشت سلول‌های تک هسته‌ای خون بدناف سبب ورود به مسیر تمايزی CD1a و در غیاب TNF وارد مسیر CD14 می‌شوند.

تقدیر و تشکر

از دکتر حسین بهاروند مدیر گروه سلول‌های بنیادی پژوهشکده رویان به خاطر حمایت و مساعدت ایشان در اجرای پژوهش، آقای احسان تقی‌آبادی کارشناس پیش‌پیوند گروه سلول‌های بنیادی پژوهشکده رویان و خانم الهام عز‌آبادی مستنول پذیرش بانک خون بدناف رویان و نیز پرسنل اتاق عمل بیمارستان آتبه و خصوصاً سرکار خانم سجاد تقدیر و تشکر می‌شود.

References

- Banchereau J, Steinman R. Dendritic cells and the control of immunity. *Nature* 1998; 392(6673): 245-252
- Guérmonprez P, Valladeau J, Zitvogel L, Théry C, Amigorena S. Antigen presentation and t cell stimulation by dendritic cells. *Annu Rev Immunol* 2002; 20: 621-667
- Romani N, Gruner S, Brang D, Kampgen E, Lenz A, Trockenbacher B, Konwalinka G, Fritsch PO, Steinman RM, Schuler G. Proliferating dendritic cell progenitors in human blood. *J Exp Med* 1994; 180(1): 83-93
- Bernhard H, Disis ML, Heimfeld S, Hand S, Gralow JR, Cheever MA. Generation of immunostimulatory dendritic cells from human cd34+ hematopoietic progenitor cells of the bone marrow and peripheral blood. *Cancer Res* 1995; 55(5): 1099-1104
- Caux C. Pathways of development of human dendritic cells. *Eur J Dermatol* 1998; 8(6): 375-384
- Robinson SP, Saraya K, Reid CD. Developmental aspects of dendritic cells in vitro and in vivo. *Leuk Lymphoma* 1998; 29(5-6): 477-490
- Zhang Y, Mukaida N, Wang J, Harada A, Akiyama M, Matsushima K. Induction of dendritic cell differentiation by granulocyte-macrophage colony-stimulating factor, stem cell factor, and tumor necrosis factor alpha in vitro from lineage phenotypes-negative c-kit+ murine hematopoietic progenitor cells. *Blood* 1997; 90(12): 4842-4853
- Park S-M, park H-Y, Lee TH. Functional effects of tnf

12-L استفاده و مشخص شد که DC تولید شده در حضور افزایش اولیه TNF قدرت بیشتری در تحریک تکثیر سلول‌های T آلوئُن پس از بلوغ را دارا است (شکل ۴). علاوه بر اینکه سبب تولید مقادیر بیشتری از سیتوکاین تیپ I (شکل ۵) می‌شوند (شکل ۶). (تیپ II سیتوکاین) از سلول‌های نابلغ در هر دو گروه ترشح می‌شود و ترشح بسیار پایینی نسبت به IL-12 دارد، همچنین ترشح IL-10 در گروه (-) و نیز در سلول‌های T فعال شده با این نوع DC افزایش نشان داد. تدر و زو در مطالعه‌ای نسخه‌هایی از IL-10 در سلول‌های CD83 جدا شده از خون محیطی توسط آنالیز RT-PCR مشاهده کردند (۲۸)، در مطالعه‌ای دیگر نیز مشاهده کردند که DC می‌لوبیدی با منشا CD14+ نیز قادر به سنت IL-10 هستند (۴۰).

نتیجه‌گیری

داده‌های این مطالعه پاسخی به اثر اختصاصی ریز محیط سیتوکاینی بر بلوغ و فعالیت DC بود و نشان داد کشت هم‌زمان منویت‌ها و سلول‌های CD34+ و فاکتور التهابی چون TNF قادر است نتیجه نهایی تولید DC را تحت تاثیر قرار دهد. به علاوه پیشنهاد می‌شود برای

- on a human follicular dendritic cell line: Persistent nf-kb activation and sensitization for fas-mediated apoptosis. *The Journal of Immunology* 2003; 171: 3955-3962
- Morrison RS, 3rd, Cruse JM, Wang H, Lewis RE. Dendritic cell differentiation and proliferation: Enhancement by tumor necrosis factor-alpha. *Exp Mol Pathol* 2003; 75(3): 228-237
- Dilioglou S, Cruse JM, Lewis RE. Costimulatory function of umbilical cord blood cd14+ and cd34+ derived dendritic cells. *Exp Mol Pathol* 2003; 75(1): 18-33
- Sato K, Nagayama H, Takahashi TA. Generation of dendritic cells from fresh and frozen cord blood cd34+ cells. *Cryobiology* 1998; 37(4): 362-371
- Zheng R, Klang K, Gorin NC, Small D. Lack of kit or fms internal tandem duplications but co-expression with ligands in aml. *Leuk Res* 2004; 28(2): 121-126
- Moldenhaur A, Noclari M, Lam G, Salama A, Rafil S, Moore M. Tumor necrosis factor alpha stimulated endothelium: An inducer of dendritic cell development from hematopoietic progenitors and myeloid leukemic cells. *Stem cells* 2004; 22(2): 144-157
- Van Neuyen A, Kirchmair M, Furhapter C, Romani N, Sepp N. Adhesive interactions between cd34(+)-derived dendritic cell precursors and dermal microvascular endothelial cells studied by scanning microscopy. *Cell Tissue Res* 2004; 315(1): 139-143

افزایش α -TNF بر عملکرد سلول دندریتیک

15. Dilioglou S, Cruse JM, Lewis RE. Function of cd80 and cd86 on monocyte- and stem cell-derived dendritic cells. *Exp Mol Pathol* 2003; 75(3): 217-227
16. Hong L, Webb TJ, Wilkes DS. Dendritic cell-t cell interactions: Cd8alphaalpha expressed on dendritic cells regulates t cell proliferation. *Immunol Lett* 2007; 108(2): 174-178
17. Broxmeyer H, Douglas G, Hangoc G. Human umbilical cord blood as a potential source of transplantable hematopoietic stem/progenitor cells. *Proc Natl Acad Sci USA* 1989; 86: 3828-3832
18. Rubinstein P, Dobrila L, Rosenfield RE, Adamson JW, Migliacciot G, Migliacciot AR, Taylor PE, Stevens CE. Processing and cryopreservation of placental/umbilical cord blood for unrelated bone marrow reconstitution *Proc Natl Acad Sci USA* 1995; 92: 10119-10122
19. Varas A, Jimenez E, Sacedon R, Rodriguez-Mahou M, Maroto E, Zapata A, Vicente A. Analysis of the human neonatal thymus: Evidence for a transient thymic involution. *J Immunol* 2000; 164: 6260-6267
20. Curti A, Fogli M, Ratta M, Tura S, Lemoli RM. Stem cell factor and flt3-ligand are strictly required to sustain the long-term expansion of primitive cd34+ dr- dendritic cell precursors. *J Immunol* 2001; 166(2): 848-854
21. Santiago-Schwarz F, Belilos E, Diamond B, Carsons SE. Tnf in combination with gm-csf enhances the differentiation of neonatal cord blood stem cells into dendritic cells and macrophages. *J Leukoc Biol* 1992; 52(3): 274-281
22. Teresa SH, Robert GH. Flow cytometry protocole. *Methods in molecular biology* Second Edition; 263: 67-94
23. Rissoan MC, Soumelis V, Kadowaki N, Grouard G, Briere F, de Waal Malefyt R, Liu YJ. Reciprocal control of t helper cell and dendritic cell differentiation. *Science* 1999; 283(5405): 1183-1186
24. Steinman R, Inaba K. Myeloid dendritic cells. *J Leukoc Biol* 1999; 66(2): 205-208
25. Steinman RM, Hemmi H. Dendritic cells: Translating innate to adaptive immunity. *Curr Top Microbiol Immunol* 2006; 311: 17-58
26. Inaba K, Turley S, Yamaide F, Iyoda T, Mahnke K, Inaba M, Pack M, Subklewe M, Sauter B, Sheff D. Efficient presentation of phagocytosed cellular fragments on the major histocompatibility complex class II products of dendritic cells. *J Exp Med* 1998; 188(11): 2163-2173
27. Borras FE, Matthews NC, Patel R, Navarrete C. Dendritic cells can be successfully generated from cd34+ cord blood cells in the presence of autologous cord blood plasma. *Bone Marrow Transplant* 2000; 26(4): 371-376
28. Zhou LJ, Tedder TF. Cd14+ blood monocytes can differentiate into functionally mature cd83+ dendritic cells. *Proc Natl Acad Sci U S A* 1996; 93(6): 2588-2592
29. Lardon F, Snoeck HW, Berneman ZN, Van Tendeloo VF, Nijs G, Lenjou M, Henckaerts E, Boeckxstaens CJ, Vandebaele P, Kestens LL, Van Bockstaele DR. Generation of dendritic cells from bone marrow progenitors using gm-csf, tnf-alpha, and additional cytokines: Antagonistic effects of il-4 and ifn-gamma and selective involvement of tnf-alpha receptor-1. *Immunology* 1997; 91(4): 553-559
30. Curti A, Isidori A, Ferri E, Terragna C, Neyroz P, Cellini C, Ratta M, Baccarani M, Lemoli RM. Generation of dendritic cells from positively selected cd14+ monocytes for anti-tumor immunotherapy. *Leuk Lymphoma* 2004; 45(7): 1419-1428
31. Santiago-Schwarz F, Divaris N, Kay C, Carsons SE. Mechanisms of tumor necrosis factor-granulocyte-macrophage colony-stimulating factor-induced dendritic cell development. *Blood* 1993; 82(10): 3019-3028
32. Rosenzwajg M, Canque B, Gluckman JC. Human dendritic cell differentiation pathway from cd34+ hematopoietic precursor cells. *Blood* 1996; 87(2): 535-544
33. Baud L, Oudinet J, Bens M, Noel L, Peraldi M, Rondeau E, Etienne J, Ardaillou R. Production of tumor necrosis factor by rat mesangial cells in response to bacterial lipopolysaccharide. *Kidney Int* 1989; 35: 1111-1118
34. Wajant H, Pfizenmaier K, Scheurich P. Tumor necrosis factor signaling. *Cell Death Differ* 2003; 10: 45-65
35. Bender A, Sapp M, Feldman M, Reddy A, Seder R, Schuler G, Steinman RM, Bhardwaj N. Dendritic cells as immunogens for human ctI responses. *Adv Exp Med Biol* 1997; 417: 383-387
36. Fukaya H, Xiao W, Inaba K, Suzuki Y, Hirokawa M, Kawabata Y, Komatsuda A, Endo T, Kishimoto H, Takada G. Codevelopment of dendritic cells along with erythroid differentiation from human cd34(+) cells by tumor necrosis factor-alpha. *Exp Hematol* 2004; 32(5): 450-460

37. Moore F, Buonocore S, Aksoy E, Ouled-Haddou N, Goriely S, Lazarova E, Paulart F, Heiman C, Vaeremans E, Thielemans K, Goldman M. An alternative pathway of nf-[kappa]b activation results in maturation and t cell priming activity of dendritic cells overexpressing a mutated i{kappa} b{alpha}. *J Immunol* 2007; 178(3): 1301-1311
38. Reid CD, Stackpoole A, Tkarpae J. Tnf and gm-csf dependent growth of an early progenitor of dendritic langerhans cells in human bone marrow. *Adv Exp Med Biol* 1993; 329: 257-262
39. Xu RL, Tang Y, Ogburn PL, Malinowski K, Madajewicz S, Santiago-Schwarz F, Fan Q. Implication of delayed tnf-alpha exposure on dendritic cell maturation and expansion from cryopreserved cord blood cd34+ hematopoietic progenitors. *J Immunol Methods* 2004; 293(1-2): 169-182
40. De Saint-Vis B, Fugier-Vivier I, Massacrier C, Gaillard C, Vanbervliet B, Ait-Yahia S, Banchereau J, Liu YJ, Lebecque S, Caux C. The cytokine profile expressed by human dendritic cells is dependent on cell subtype and mode of activation. *J Immunol* 1998; 160(4): 1666-1676